## ANALISIS PEMBEBANAN STATIS PADA STRUKTUR HEXACOPTER DRONEUNTUK PERTANIAN (*DRUPER*)

N. Erlangga<sup>(1)\*</sup>,Simon Sindhu<sup>(2)</sup>, Endah Yuniarti<sup>(2)</sup>

- (1) Program Studi Industri Pertahanan, Fakultas Sains & Teknologi Pertahanan, Universitas Pertahanan Republik Indonesia, Bogor, Jawa Barat, Indonesia
- (2) Program Studi di Teknik Penerbangan, Fakultas Teknologi Kedirgantaraan, Universitas Dirgantara Marsekal Suryadarma, Jakarta, Indonesia.

\*Corresponding Author: nvlairlangga@gmail.com

Abstrak - Menurut data dari Pusat Data dan Sistem Informasi Pertanian Sekretariat Jenderal – Kementerian Pertanian 2020, area lahan pertanian di Indonesia seluas 36.817.086 Hektar. Dengan luas lahan pertanian yang begitu potensial, petani bisa menggunakan teknologi drone untuk membantu tugas untuk meningkatkan produktifitas. Tujuan dari peneltian ini untuk mengetahui nilai kekuatan yang diterima drone dalam menahan beban pada kondisi terbang hover. Desain drone terdiri dari tiga bagian utama yaitu Body frame menggunakan material plastik polikarbonat, Support structure, dan Skid yang menggunakan material aluminium dengan konfigurasi hexacopter. Sketsa dan model drone didesain dan dirancang menggunakan perangkat lunak CAD (Computer Aided Design) Solidworks dan simulasi pembebanan struktur dilakukan menggunakan perangkat lunak CAE (Computer Aided Engineering) ANSYS Workbench. Perhitungan simulasi analisis kekuatan struktur *drone* dengan metode elemen hingga diperoleh nilai Regangan Von Mises sebesar 0,00089 dan Tegangan Von Mises maksimum sebesar 21,96 MPa yang terjadi pada bagian komponen Support Structure. Dimana nilai tegangan ini masih dibawah nilai kekuatan luluh (Yield Strength) materialnya yang berupa aluminium 6061-T6 yaitu sebesar 259,2 MPa, sehingga secara umum drone untuk pertanian ini dinyatakan aman.

Kata Kunci: Kekuatan luluh, Hexacopter, Drone pertanian, Metode Elemen Hingga

Abstract - According to data from the Center for Agricultural Data and Information Systems of the Secretariat General - Ministry of Agriculture 2020, the area of agricultural land in Indonesia is 36,817,086 Hectares. With such a potential agricultural land area, farmers can use drone technology to assist in the task of increasing productivity. The purpose of this research is to determine the value of the strength received by the drone in holding the load in the hover flying condition. The drone design consists of three main parts, namely the Body frame using polycarbonate plastic material, Support structure, and Skid which uses aluminum material with a hexacopter configuration. Sketches and models of drones are designed and designed using CAD (Computer Aided Design) Solidworks software and structural loading simulations are carried out using CAE (Computer Aided Engineering) ANSYS Workbench software. Calculation of the structural strength analysis simulation of the drone with the finite element method obtained a Von Mises Strain value of 0.00089 and a maximum Von Mises Stress of 21.96 MPa which occurred in the Support Structure component. Where this voltage value is still below the yield strength value of the material in the form of 6061-T6 aluminum which is 259.2 MPa, so in general this agricultural drone is declared safe.

**Keywords:** Yield Strength, Hexacopter, Agriculture Drone, Finite Element Method.

#### I. PENDAHULUAN

Teknologi *drone* saat ini berkembang sangat pesat, dunia industri menggunakan teknologi ini guna mempermudah kegiatan operasi mereka. Banyak industri sekarang tertarik menggunakan *drone* karena teknologi *drone* merupakan solusi yang cepat, murah, efisien, dan hemat biaya. Ada banyak tugas yang dapat dikerjakan oleh *drone* seperti operasi militer, pengiriman paket, operasi bantuan, operasi penyelamatan, kegiatan pemantauan,

kegiatan pengawasan, inspeksi konstruksi, dan masih banyak lagi. Hal ini merupakan peluang yang sangat menarik bagi sektor industri (pengusaha) dan teknologi *drone* akan berkembang sangat cepat karena adanya kebutuhan disektor tersebut. Masalahnya sebenarnya adalah aplikasi *drone* apa yang layak untuk dikembangkan.

Menurut data Menurut data dari Pusat Data dan Sistem Informasi Pertanian Sekretariat Jenderal Kementerian Pertanian 2020, area lahan pertanian di Indonesia seluas 36.817.086 Hektar<sup>[1]</sup>. Dengan luas lahan pertanian begitu potensial, petani bisa yang menggunakan teknologi *drone* untuk membantu tugasnya. Tugas yang dapat dilakukan oleh drone adalah pemetaan lahan, penyemprotan pupuk dan cairan pestisida untuk serangga. Drone datang dalam berbagai konfigurasi dan model, drone yang digunakan untuk melakukan tersebut dinamakan pertanian. Konfigurasi dan model pada drone pertanian pada umumnva menggunakan multirotor, model ini digunakan karena kemampuannya dalam membawa beban lebih tinggi dibanding konfigurasi dan model drone lainnya. Kemampuannya yang dapat lepas landas dan mendarat secara vertikal, dan terbang secara melayang membuat model ini sangat cocok dalam hal kepraktisan di lapangan karena tidak membutuhkan landasan terbang yang luas.

Maka pada penelitian ini bertujuan untuk mengetahui nilai kekuatan yang diterima drone dalam menahan beban pada kondisi terbang steady (diam). Desain *Drone* untuk pertanian (DRUPER) terdiri dari tiga bagian utama yaitu Body menggunakan material plastik polikarbonat, Support structure, dan Skid yang menggunakan material aluminium. Drone memakai konfigurasi hexacopter yaitu drone memiliki lengan dan balingbaling rotor berjumlah 6. Sketsa dan model didesain dan dirancana menggunakan perangkat lunak CAD (Computer Aided Design) Solidworks dan seluruh perhitungan simulasi dilakukan menggunakan perangkat lunak CAE

(Computer Aided Engineering) ANSYS Workbench. Penelitian dilakukan secara numerik dengan menggunakan metode elemen hingga.

#### **II.METODE PENELITIAN**

#### 2.1 Hexacopter Drone

Hexacopter terdiri dari enam rotor dengan tiga pasang bilah sudut tetap yang berputar berlawanan. Keseluruhan gerak benda ini terdiri dari gerak translasi dan gerak rotasi dalam tiga dimensi, dimana gerak translasi dibuat dengan mengubah arah dan besarnya gaya dorong baling- baling ke atas. Hexacopter dikendalikan dengan mengatur kecepatan sudut rotor, yang diputar oleh motor listrik<sup>[2]</sup>.



Gambar 2.1 Drone Hexacopter

## 2.2 Material Drone 1. Aluminium 6061-T6

Aluminium (AI) merupakan logam ringan yang mempunyai sifat tahan terhadap korosi dan hantaran listrik yang baik. Paduan aluminium 6xxx banyak digunakan sebagai produk ekstrusi, serta untuk konstruksi dan aplikasi otomotif [3]. Untuk mendapatkan peningkatan kekuatan biasanya logam mekanik, aluminium dipadukan dengan dengan unsur Cu, Si, Mg, Zn, Mn, Ni, dan unsur lain<sup>[4]</sup>. Aluminium 6061-T6 mempunyai keunggulan seperti kekuatan tarik relatif tinggi, sifat mampu bentuk (formability) baik, tahan korosi dan merupakan logam ringan. Kelemahan Al 6061-T6 adalah sifat mampu (weldability) relatif rendah dan sambungan las rentan terhadap kegagalan

#### 2. Polikarbonat

Polikarbonat adalah suatu kelompok polimer termoplastik, mudah dibentuk dengan menggunakan panas. Plastik ini memiliki banyak keunggulan, ketahanan termal, dibandingkan dengan plastik jenis lain, ketahanan terhadap benturan, tahan lama dan dapat dilaminasi menjadi kaca anti peluru, tahan terhadap benturan, dan sangat bening. Polikarbonat disebut demikian karena plastik ini terdiri dari polimer dengan gugus karbonat(-O-(C=O)-O-) dalam rantai molekuler yang panjang<sup>[5]</sup>.

#### 2.3 Mekanika Material

#### 1. Tegangan (Stress)

Tegangan merupakan gaya yang diaplikasikan terhadap luas penampang suatu benda. Semakin besar tegangan yang ada pada suatu benda maka semakin besar juga regangan pada benda tersebut. Berikut ini adalah rumus untuk menghitung tegangan [6].

$$\sigma = \frac{F}{A} \tag{2.1}$$

# $\sigma = \frac{F}{A}$ 2. Regangan (Strain)

Regangan merupakan perubahan bentuk pada suatu benda terjadi karena gaya yang diaplikasikan pada tiap ujung benda dengan arah berlawanan, sehingga panjang dari benda tersebut bertambah. Berikut ini adalah rumus untuk menghitung regangan [6].

$$\varepsilon = \frac{\Delta x}{x_0} \tag{2.2}$$

#### 2.4 Model Konstitutif Material

Aluminium 6061-T6, dan Polikarbonat merupakan material isotropik oleh karena itu untuk memprediksi fase plastisitas menggunakan kriteria *Von Mises*. Kriteria *Von Mises* menyatakan bahwa kegagalan terjadi ketika energi distorsi mencapai energi yang sama untuk yield atau kegagalan dalam tegangan unaksial. Hal ini dinyatakan pada persamaan (2.3), (2.4) [6].

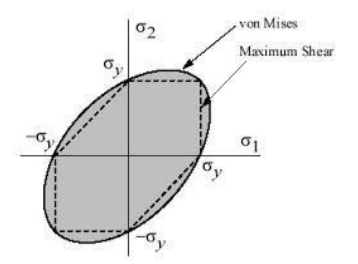
$$\frac{1}{2}[(\sigma_1 - \sigma_2)^2 + (\sigma_1 - \sigma_3)^2 + (\sigma_3 - \sigma_1)^2] = (2.3)$$

$$\leq \sigma_y$$

Dalam kasus *plane stress*,  $\sigma_3$ = 0. Kriteria *Von Mises* menjadi,

$$\sigma_1^2 - \sigma_1 \sigma_2 + \sigma_2^2 \le \sigma_v \tag{2.4}$$

Persamaan ini merupakan persamaan principal stress yang berbentuk elips seperti ditunjukkan pada **Gambar 2.2.** 



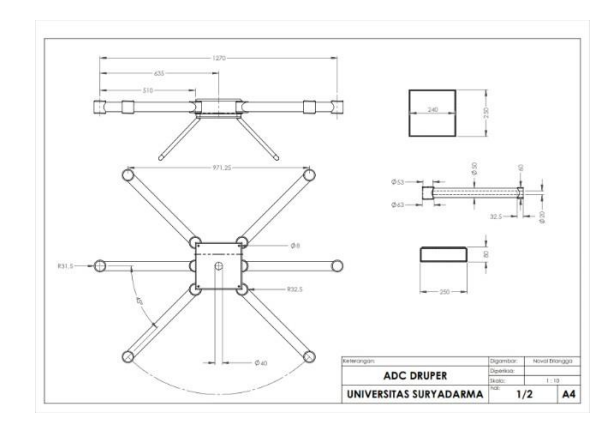
Gambar 2.2 Principal Stress [6]

Pada **Gambar 2.2** tersebut ditunjukan kriteria tegangan geser maksimum (garis putus-putus). Teori ini lebih konvensional dari kriteria *von mises* (garis elips merupakan garis *von mises*). Kriteria *von mises* memberikan estimasi yang masuk akal pada kegagalan kelelahan, khususnya pada kasus pembebanan tarik dan geser yang berulang-ulang<sup>[6]</sup>.

#### 2.5 Pemodelan Pada Drone

#### 1. Sketsa 2D

Sketsa adalah suatu gambar atau ilustrasi dari sebuah rancangan atau pra-rancang sebelum melakukan proses pembuatan prototipe atau produksi. Tujuan dari pembuatan sketsa adalah gambar awal untuk meminimalisir kesalahan dalam melakukan proses perancangan. Berikut sketsa DRUPER yang digambar menggunakan perangkat Sketsa model CAD. ditampilkan pada Gambar 2.3.



Gambar 2.3 Sketsa 2D DRUPER

#### 2. Objek 3D (3D Model)

3D Model adalah objek yang tercipta dalam ruang digital 3 dimensi. Proses untuk menciptakan objek 3 dimensi adalah 3D Modelling. Objek mempunyai bentuk, volume, dan ruang. Sehingga objek ini memiliki koordinat X, Y, dan Z. Jika pada animasi 2D, objek hanya dapat digerakkan ke dua arah, yaitu ke kanan - kiri (X) dan atas - bawah (Y), maka berbeda dengan objek 3D. Pada animasi 3D, objek dapat digerakkan ketiga arah, yaitu ke kanan – kiri (X), atas - bawah (Y) dan depan - belakang (Z). 3D Model DRUPER Berikut dari menggunakan perangkat lunak CAD Solidworks. Berikut pembuatan 3D model dan tampilan muka dari perangka lunak Solidworks. Model 3D dari DRUPER



Gambar 2.4 Model 3D DRUPER

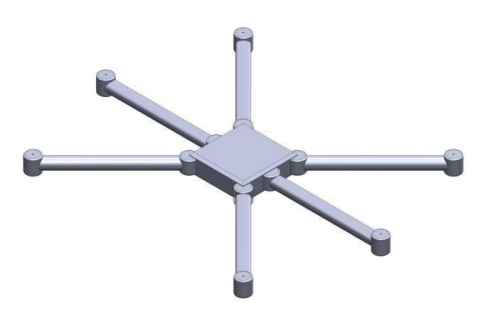
Komponen *Skid* atau roda pendarat didesain menggunakan pipa tubular aluminium. Pemilihan pipa tubular dikarenakan mudahnya akses mendapatkan benda ini di toko *online* (*ecommerce*) maupun *offline* (toko besi, tukang las, dll). Selain itu proses melakukan pembengkokan (*bending*) sesuai bentuk yang diinginkan lebih

mudah dilakukan dibanding jenis bahan lain. Fleksibilitas roda pendarat berfungsi sebagai peredam untuk menyerap benturan saat mendaratkan *drone* [8]. Objek 3D dari komponen *Skid* ditampilkan pada **Gambar 2.6**.



Gambar 2.6 Skid

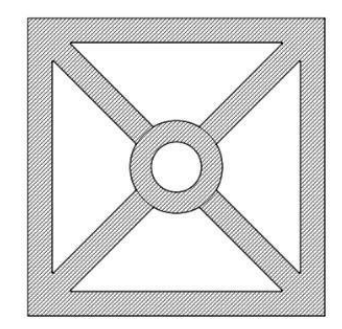
Body Frame adalah komponen yang menghubungkan komponen satu dengan komponen lainnya. Komponen Body Frame juga terdapat komponen utama penelitian ini yaitu support structure, Selain itu komponen ini terdapat komponen didalamnya seperti baterai, papan sirkuit, kabel, motor receiver, komponen listrik, dan lainnya. Objek 3D dari kelistrikan komponen Body Frame ditampilkan pada Gambar 2.7. Material yang dipakai pada komponen ini adalah Plastik polikarbonat, alasan pemilihan material ini adalah banyaknya jenis drone yang sama yang menggunakan jenis material ini.



Gambar 2.7 Body Frame

Support Structure merupakan komponen struktur tambahan yang berguna membantu menahan beban yang diterima oleh drone, selain itu fungsi lain dari komponen ini adalah sebagai tempat pemasangan alat penyemprotan pupuk dan pestisida. Pada penelitian ini komponen Support Structure juga sebagai

titik ikat dan Model 3D dari komponen Support Structure ditampilkan pada **Gambar 2.8**.



Gambar 2.8 Support Structure

**Tabel 2.1** Parameter Model

Unit	Millimeter (mm)		
Panjang X	1333, mm		
Panjang Y	327, mm		
Panjang Z	1034,2 mm		
Volume	7,97e+006 mm <sup>3</sup>		
Massa	10,99 kg		
Node	964541		
Elemen	589485		

#### 2.6 Properti Material

Properti Material adalah data berupa nilai, sifat, dan karakteristik yang dimiliki oleh suatu material. Material yang digunakan pada model *drone* terdiri dari Aluminium 6061-T6 dan Plastik Polikarbonat. Berikut nilai properti material dari Aluminium 6061-T6.

**Tabel 2.2** Properti material Aluminium 6061-T6 [3]

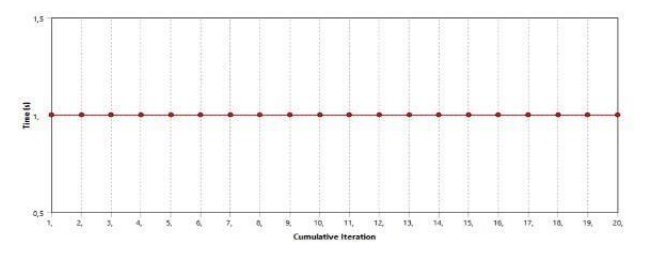
Density	2,71e-006 kg/mm³		
Yield Strength	259,2 MPa		
Ultimate Strength	313,1 MPa		
Young's Modulus	69040 MPa		
Poisson's Ratio	0,33		
Bulk Modulus	67686 MPa		
Shear Modulus	25955 MPa		

**Tabel 2.3** Properti material Polikarbonat<sup>[3]</sup>

Density	1,16e-006 kg/mm <sup>3</sup>	
Yield Strength	61,93 MPa	
Ultimate Strength	62,82 MPa	
Young's Modulus	2303 MPa	
Poisson's Ratio	0,40	
Bulk Modulus	3846 MPa	
Shear Modulus	822,38 MPa	

#### 2.7 Step dan Iterasi

Langkah waktu yang dipilih pada satu kali proses simulasi hingga menghasilkan satu data analisis adalah 1Model *drone* memakai ukuran *mesh* 5 mm, ukuran *mesh* 5 mm dipilih karena ukuran ini sudah mendapat nilai yang konvergen.

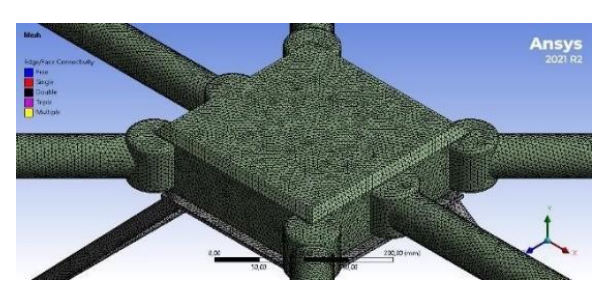


Gambar 2.9 Step dan Time Iteration

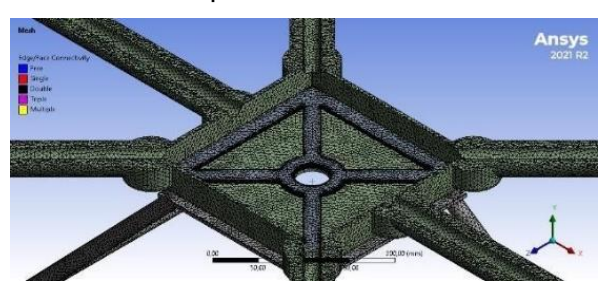
#### 2.8 Mesh

Dalam pre-processing meshing, penentuan jenis mesh dilakukan pada mode default di mana perangkat lunak menentukan mesh geometri dan memberikan hasil, dalam hal ini hasil yang didapatkan jumlah 964541 noda dan 589485 elemen mesh. Model drone memakai ukuran mesh 5 mm, ukuran mesh 5 mm dipilih karena ukuran ini sudah mendapat nilai yang konvergen.

Proses meshing dilakukan beberapa penyesuaian dan penyempurnaan terutama pada bagian komponen – komponen penghubung dan sambungan, selain itu komponen yang menerima proses pembebanan secara langsung juga dilakukan proses penyempurnaan meshing seperti pada bagian komponen support structure. Model drone yang telah dilakukan proses meshing ditampilkan pada Gambar 2.10.



**Gambar 2.10** Visualisasi *mesh* pada model *drone*.

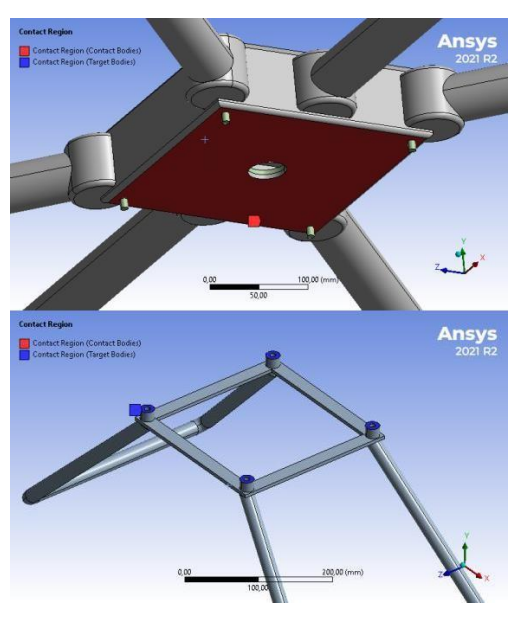


**Gambar 2.11** Visualisasi *mesh* pada bagian dalam *drone.* 

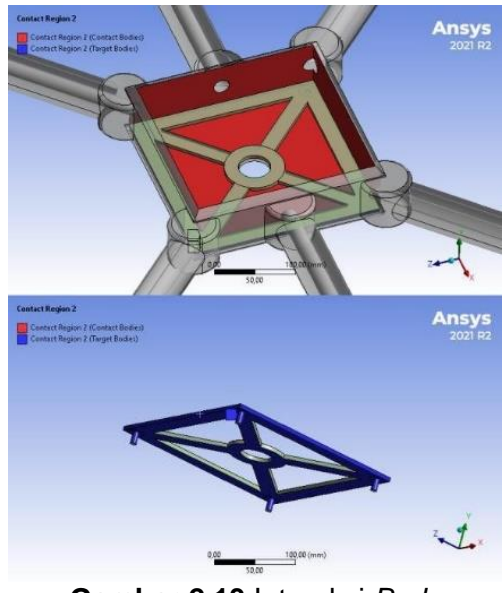
#### 2.9 Interaksi Antar Komponen

Drone terdiri dari banyak sehingga tidak komponen, dapat diperlakukan sebagai satu bagian, dan semua komponen individu dan interaksi perakitan dengan dipertimbangkan dan disimulasikan. Drone DRUPER memiliki 3 komponen utama yaitu Body Frame, Support Structure, Skid. Dari setiap dan komponen tersebut, masing- masing komponen saling memberikan interaksi komponen lainnya. Penentuan interaksi pada setiap komponen sangat berpengaruh terhadap hasil dan nilai simulasi yang didapat. Interaksi terdiri dari komponen bagian luar Body Frame bawah dan komponen Skid. Interaksi ini bersifat "bonded" atau terikat.

Interaksi kedua terdiri dari komponen bagian dalam Body Frame dan komponen Support Structure. Interaksi ini bersifat "bonded" atau terikat.



**Gambar 2.12** Interaksi *Body Frame* dengan *Skid* 



**Gambar 2.13** Interaksi *Body Frame*dengan *Support Structure* 

## 2.10 Kondisi Batas (*Boundary Condition*)

Force diberikan pada setiap ujung lengan drone. Satuan yang dipakai untuk proses ini adalah Newton, dengan nilai total sebesar 205,82 N. Nilai ini didapat dari perhitungan konversi massa 10 kg ditambah dengan massa drone sebesar 10,98 kg.

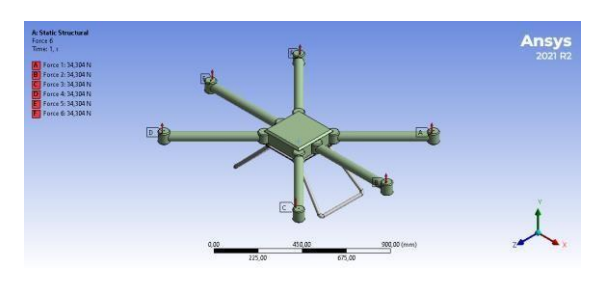
#### Force (N) = Mass (Kg) x Acceleration $(m/s^2)$

N1 = 
$$10 \text{ kg} \times 9,8066 \text{ m/s2} = 98,07 \text{ N}$$
  
N2 =  $10,98 \text{ kg} \times 9,8066 \text{ m/s2}$   
=  $107,75 \text{ N}$   
 $N1 + N2 = 98,07 \text{ N} + 107,75 \text{ N}$   
=  $205,82 \text{ N}$ 

#### Keterangan:

N1: Nilai yang diberikan pada drone

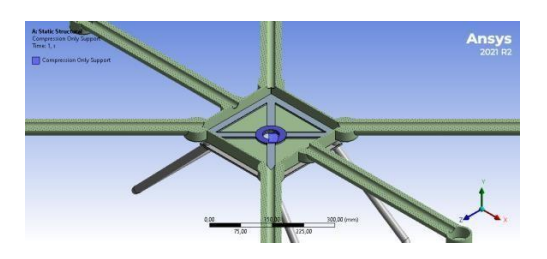
N2: Nilai dari massa drone



Gambar 2.14 Lokasi Force

Kondisi Batas (Boundary Condition) adalah batasan yang dibutuhkan pada solusi agar sifatnya sesuai dengan sifat fisis pada sistem sebenarnya. Dalam metode elemen hingga, kondisi batas merupakan hal penting untuk mendapatkan hasil simulasi yang sesuai. Pada simulasi ini digunakan perangkat lunak CAE yaitu Ansys. Terdapat fitur "support" pada perangkat lunak Ansvs untuk menerapkan kondisi batas dalam melakukan proses simulasi. Compression Only Support dipakai untuk menahan pergerakan objek agar pada satu posisi agar tidak terangkat keatas sumbu normal. Lokasi digunakannya support ini berada pada Support Structure.

Penerapan Standard Earth Gravity dipakai guna menerapkan hukum inersia pada seluruh bagian drone lalu menyesuaikan kondisi dan situasi nyata saat proses simulasi. Arah koodinat standar gravitasi yang diterapkan pada program mengarah ke sumbu (-Y) , dengan nilai yang diberikan sebesar 9806,6 mm/s².



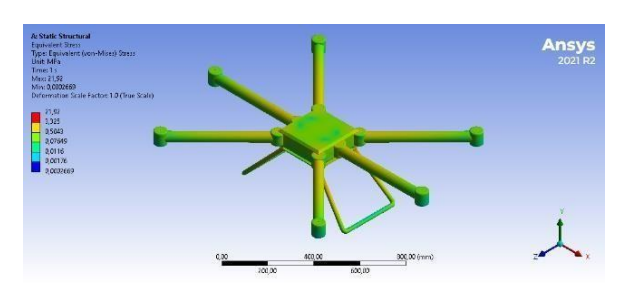
**Gambar 2.15** Compression Only Support pada Support Structure



Gambar 2.16 Standard Earth Gravity

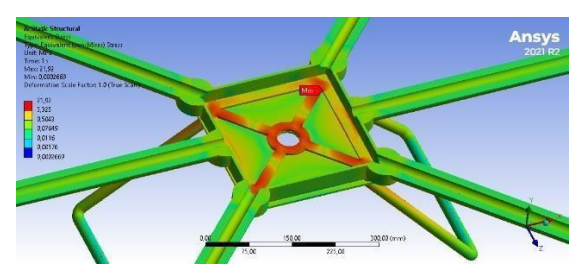
## III. HASIL DAN PEMBAHASAN 3.1 Simulasi Analisis Model *Drone*

Dengan bantuan kemampuan kalkulasi dan simulasi yang ada dalam perangkat lunak Ansys, pengujian dapat dilakukan dalam kondisi yang mendekati dengan kondisi aslinya. Analisis struktural di Ansys mencakup berbagai masalah. Langkah pertama dalam analisis metode elemen hingga adalah untuk menetapkan material. setelah itu beralih menghasilkan *mesh* elemen hingga ukuran 8 – 4 mm. Kemudian, force yang bekerja pada drone didefinisikan. Gambar 2.14 menunjukkan model *drone* dengan ukuran mesh elemen yang terdiri dari 589485 elemen dan 964541 node dimana ukuran mesh elemen adalah 5 mm. Setelah semua tahapan terpenuhi maka dilakukan proses simulasi.

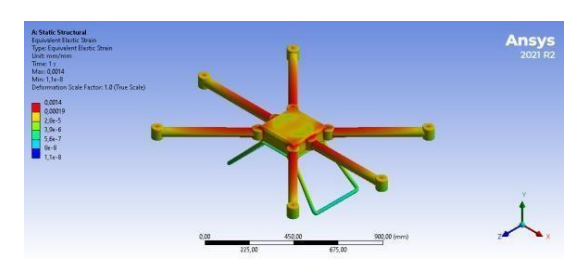


Gambar 3.1 Tegangan Von Mises

Seperti yang ditunjukan Gambar 3.1, tegangan Von Mises maksimum yang didapat oleh drone sebesar 21,92 MPa. Nilai yang didapat pada simulasi drone masih lebih rendah dari kekuatan luluh (yield strength) material yang dipakai pada komponen - komponen drone, yang mana kekuatan luluh dari aluminium 6061-T6 adalah 259,2 MPa dan kekuatan luluh dari polikarbonat adalah 61,93 MPa. Tegangan maksimum terjadi pada komponen structure support yang dipasang pada bagian dalam body frame sebagai struktur penguat dan juga penghubung komponen body frame dan skid. Pada Gambar 3.2 terlihat titik yang mendapat tegangan tertinggi pada komponen support structure.

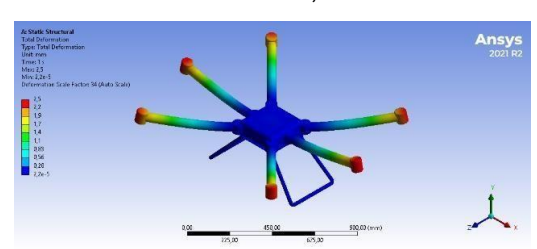


**Gambar 3.2** Distribusi Tegangan *Von Mises* pada *drone* 



**Gambar 3.3** Regangan *Von Mises* pada *drone* 

Nilai regangan yang didapat setelah proses simulasi terhadap model *drone* menunjukan nilai maksimum sebesar 0,00089.

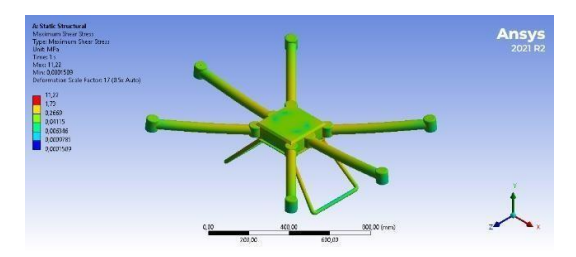


Gambar 3.4 Total Deformasi

**Tabel 3.1** Hasil simulasi analisis pada drone dengan step waktu selama 1 detik dan sub step berjumlah 20 dengan jarak waktu 0,05 detik.

	_				
Waktu [s]	Tenandan	Von Mises (MPa)	Regangan Von Mises (MPa)	Total Deformasi (mm)	
	Maksimum				
0,05	5	1,10	0,00007	0,1	
0,1		2,19	0,00014	0,2	
0,15	5	3,29	0,00021	0,4	
0,2	:	4,38	0,00027	0,5	
0,25	5	5,48	0,00034	0,6	
0,3	,	6,58	0,00041	0,7	
0,35	5	7,67	0,00048	0,9	
0,4		8,77	0,00055	1,0	
0,45	5	9,87	0,00062	1,1	
0,5	,	10,96	0,00068	1,2	
0,55		12,06	0,00075	1,4	
0,6	i	13,15	0,00082	1,5	
0,65		14,25	0,00089	1,6	
0,7		15,35	0,00096	1,7	
0,75	5	16,44	0,0010	1,9	
0,8	,	17,54	0,0011	2,0	
0,85	5	18,63	0,0012	2,1	
0,9		19,73	0,0012	2,2	
0,95	5	20,83	0,0013	2,4	
1		21,92	0,0014	2,5	

Deformasi maksimum pada model drone terjadi pada ujung lengan drone dengan nilai deformasi total sebesar 2,5 mm dengan nilai deformasi maksimum awal drone sebesar 0,1 mm seperti yang ditampilkan pada **Tabel 3.1.** 



**Gambar 3.4** Tegangan geser pada drone

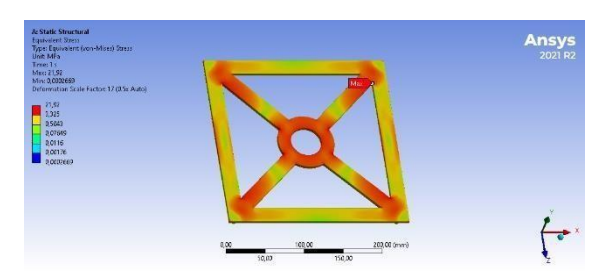


**Gambar 3.5** Distribusi tegangan geser pada drone

Nilai tegangan geser yang diterima pada drone sebesar 11,16 MPa, komponen yang mendapat tegangan geser tertinggi ada pada komponen Support Structure.

### 3.2 Analisis Pada Tiap Komponen Drone

Pada komponen support structure yang memakai material aluminium 6061- T6 memiliki kekuatan luluh sebesar 61.93 MPa pada Gambar dimana komponen support structure menerima tegangan tertinggi sebesar 21,92 MPa dan tegangan terendah yang diterima senilai 0,00027 MPa. Nilai angka tersebut masih jauh dari kemampuan material aluminium 6061-T6 menerima beban. Berikut visualisasi distribusi tegangan yang diterima pada komponen support structure.

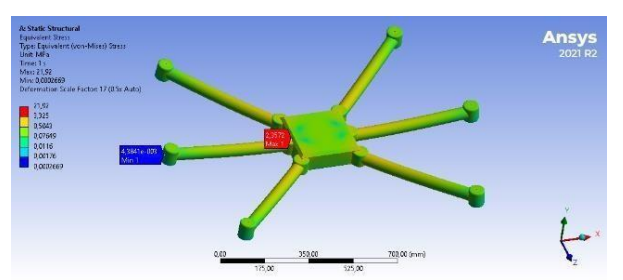


**Gambar 3.6** Tegangan *Von Mises* pada

#### Support Structure

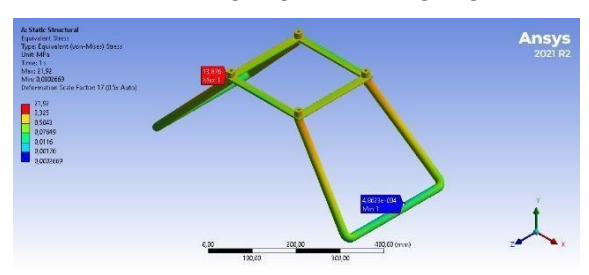
Pada simulasi ini bagian komponen drone yang menerima tegangan terendah adalah komponen body frame dimana tegangan tertinggi diterima oleh komponen ini sebesar 2,36 MPa dan nilai tegangan terendah yang diterima senilai 0,0044 MPa. Tegangan tertinggi yang diterima komponen body frame berada pada bagian penghubung atau sambungan antara badan utama drone dan lengan drone, lalu tegangan terendah berada pada bagian bawah tempat dari motor listrik sumber penggerak dari drone yang dapat dilihat pada Gambar 3.7.

Skid sebutan lain dari roda pendaratan terbuat dari material yang memiliki kekuatan tinggi dan densitas komponen yang rendah, namun fleksibel di bawah beban berat. Fleksibilitas roda pendaratan bertindak sebagai peredam untuk menyerap dampak pendaratan drone.



**Gambar 3.7** Tegangan *Von Mises* pada *Frame Body* 

Komponen skid terbuat dari pipa tubular aluminium yang dibentuk menjadi sebuah komponen drone untuk fungsi roda pendaratan. Material yang dipakai pada komponen skid sama dengan komponen yang dipakai pada komponen support structure yaitu material aluminium 6061- T6. Komponen *skid* terhubung langsung dengan structure, gabungan komponen support kedua komponen ini bertindak sebagai penopang struktur pada drone dalam menahan beban tegangan dan regangan.



**Gambar 3.8** Tegangan *Von Mises* pada *Skid* 

Proses simulasi menunjukkan tegangan yang diterima pada komponen skid, terlihat pada Gambar 3.8 nilai tegangan tertinggi diterima yang komponen skid terjadi pada bagian sambungan atau penghubung skid dengan komponen komponen support structure. Pada bagian penghubung tersebut mendapat nilai tegangan tertinggi sebesar 13,88 MPa dan nilai tegangan terendah senilai 0,00049 MPa berada pada pipa tubular aluminium bagian bawah seperti pada **Gambar 3.8**.

#### IV. KESIMPULAN

Berdasarkan hasil analisis simulasi statis struktur pada *drone* dan pembahasan yang dilakukan sebelumnya, dapat diperoleh kesimpulan sebagai berikut:

- 1. Material yang digunakan dalam desain dan analisis drone untuk adalah Aluminium 6061- T6 dan Polikarbonat dengan nilai kekuatan luluh (Yield Strength) sebesar 259,2 MPa dan 61.93 MPa. Material aluminium 6061-T6 digunakan pada komponen struktur Support Skid. Dari Structure dan perhitungan analisis kekuatan struktur *drone* dengan metode elemen hingga diperoleh Regangan Von Mises maksimum sebesar 0,00089 dan nilai Tegangan Von Mises maksimum sebesar 21,92 MPa. Tegangan ini masih dibawah nilai kekuatan luluh sehingga secara umum drone untuk pertanian ini dinyatakan aman dan mampu menyangga beban operasionalnya.
- 2. Nilai total deformasi maksimum akibat gaya yang diberikan pada model drone sebesar 2,5 mm dengan nilai deformasi maksimum awal drone sebesar 0.1 mm sesuai vand ditampilkan pada Tabel 4.1. Deformasi terbesar pada drone terjadi pada komponen Body Frame bagian ujung lengan drone yang nantinya menjadi tempat bagi motor listrik penggerak rotor drone.

#### **DAFTAR PUSTAKA**

- [1] Hansson, A., 2010, Quadrotor UAV Construction Och Anvandbarhetsstudieaven Uavi Sensornatverk, Uppsala Universitet, Uppsala.
- [2] Vijayanandh, R., Mano, S., Dinesh, M., Kumar, M. S., & Kumar, G. R.

- (2017). Design, Fabrication And Simulation Of Hexacopter For Forest Surveillance. ARPN J Eng Appl Sci, 12(12), 3879-3884.
- [3] Ansys Granta Materials Data Library.
   (2022, October 4).
   Https://Www.Ansys.Com/Products/Materials-Data-Library
- [4] Hawas, M. N. (2013). Effect Of Ageing Time On Adhesive Wear Of AL Alloy AA6061-T6. Journal Of Kerbala University, 11(4), 145-152.
- [5] Nurtanto, D., Hasanuddin, A., 2014, Desain Pelat Beton Berpori Dengan Polikarbonat, Program Studi Teknik Sipil, Universitas Jember, Jawa Timur.
- [6] R.S. Khurmi, 2002, Strength Of Material, Chand & Company Ltd.\
- [7] Jenkins, D., & Vasigh, B., 2013, The Economic Impact Of Unmanned Aircraft Systems Integration In The United States. In Association For Unmanned Vehicle Systems International.
- [8] Aji Budi Warsiyanto, 2020, Analisis Respon Dinamik Windshield Pesawat Komuter 19 Penumpang Terhadap Fenomena Bird Strike Menggunakan Metode Elemen Hingga, Program Studi Teknik Penerbangan, Universitas Dirgantara Marsekal Suryadarma, Jakarta.
- [9] Ahmad, M., Ismail, K. A., & Mat, F. (2013). Convergence Of Finite Element Model For Crushing Of A Conical Thin- Walled Tube. Procedia Engineering, 53, 586-593.
- [10]Salih, A. A. (2012). Finite Element Method. Departmen Of Aerospace Engineering Indian Institute Of Space Science And Technology Thiruvananthapuram-695547, India.
- [11]Sharma, V., Vignan, P., Suman, N., & Bhattacharya, S. (2016). DESIGN AND FABRICATION OF A AGRICULTURAL DRONE. Journa O Engineering Sciences, 1(1).
- [12]Patil, H., & Jeyakarthikeyan, P. V. (2018, August). Mesh Convergence Study And Estimation Of Discretization Error Of Hub In Clutch Disc With Integration Of ANSYS. In IOP Conference Series: Materials Science And Engineering (Vol. 402, No. 1, P. 012065). IOP Publishing.